

1/21
FURUKAWA, *et al.*
BUR920010222US1 MFC

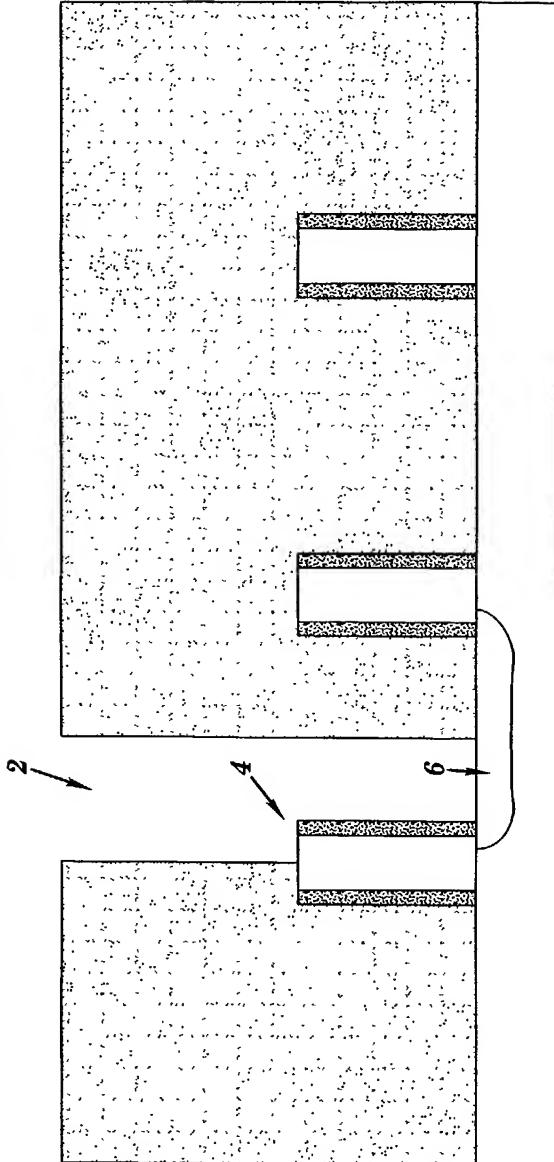


FIG. 1A
PRIOR ART

2/21
BUR920010222US1

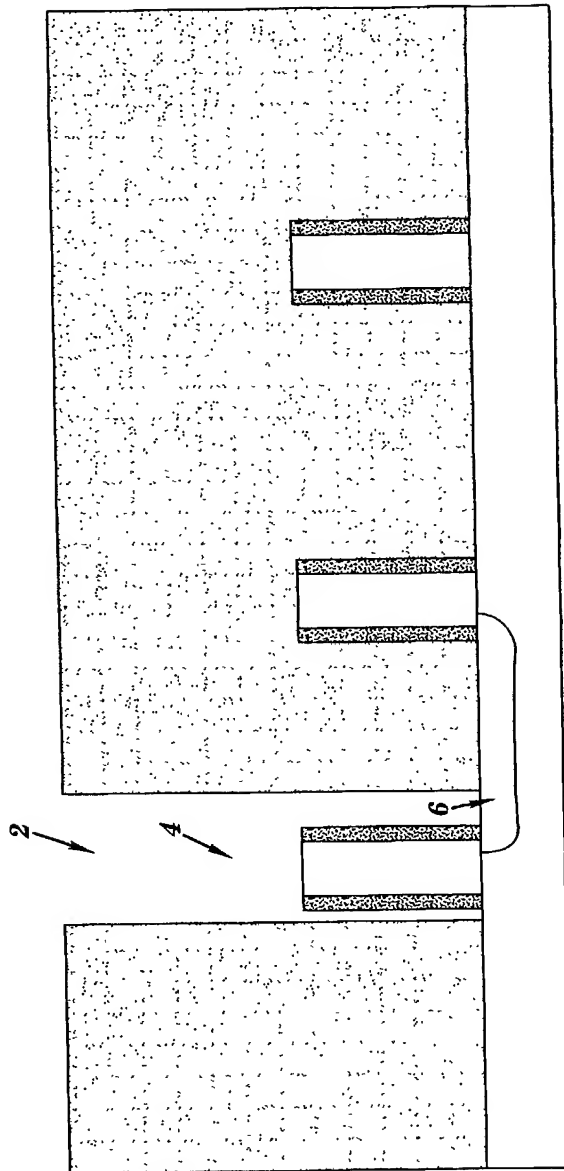


FIG. 1B
PRIOR ART

3/21
BUR920010222US1

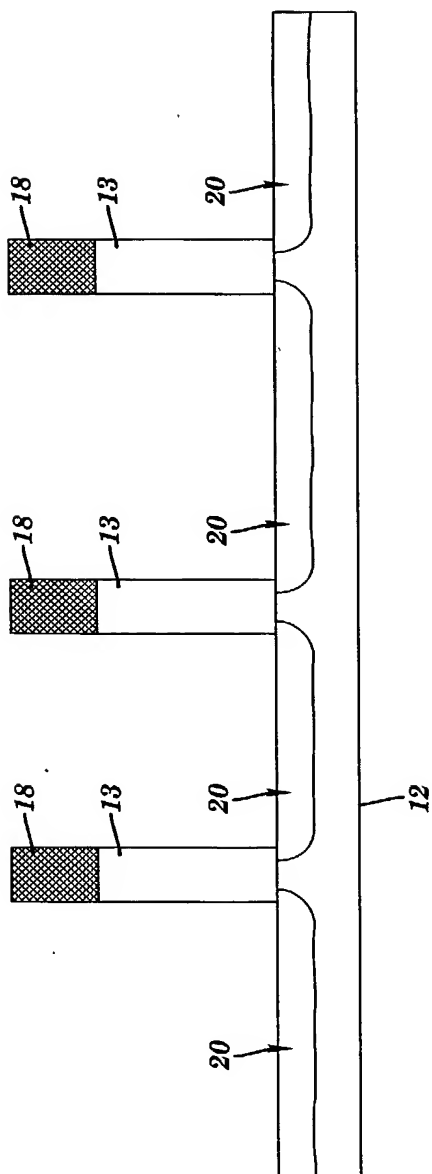


FIG. 2

4/21
BUR920010222US1

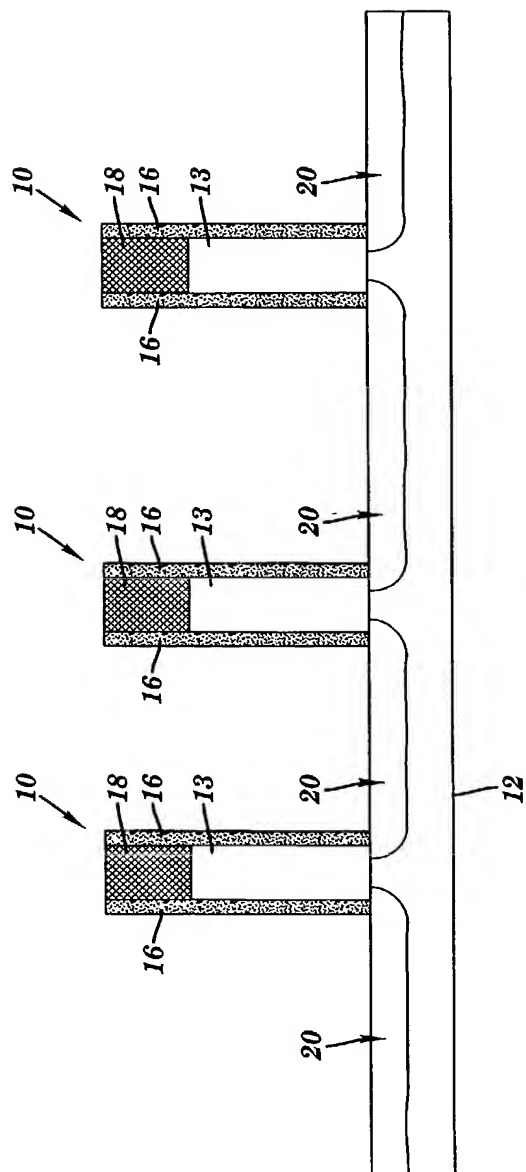


FIG. 3

5/21
BUR920010222US1

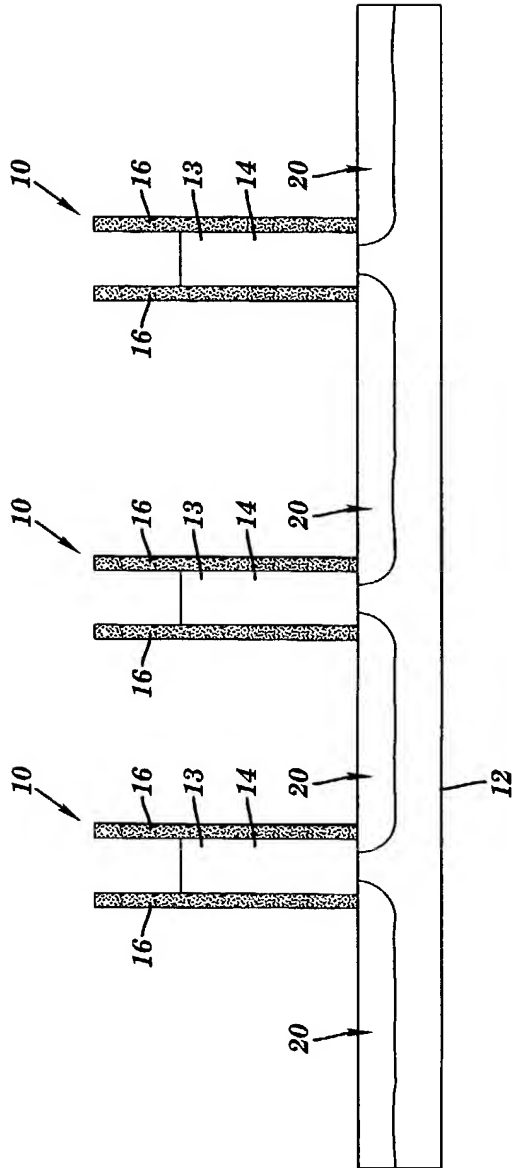


FIG. 4

6/15
BUR920010222US1

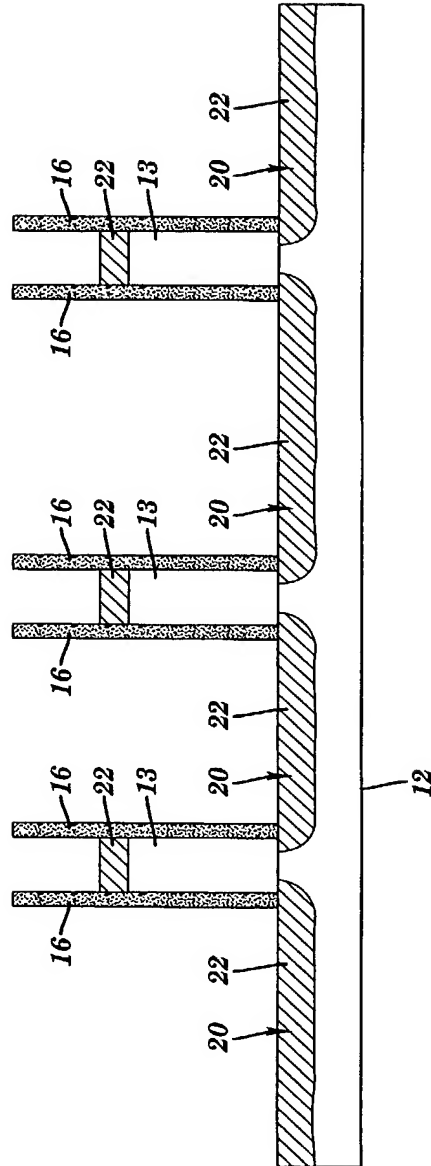


FIG. 5

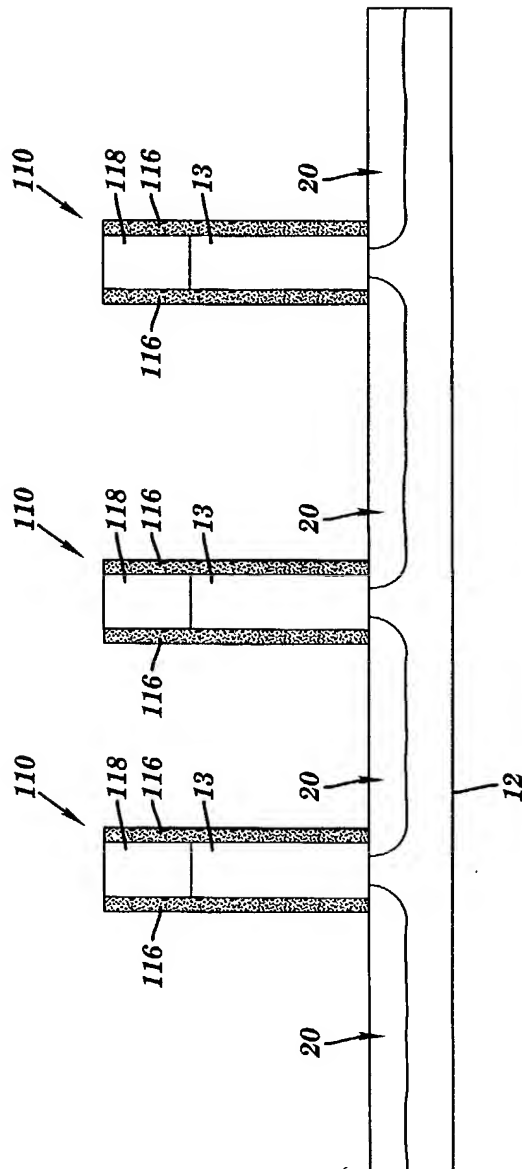


FIG. 6



9/21
BUR920010222US1

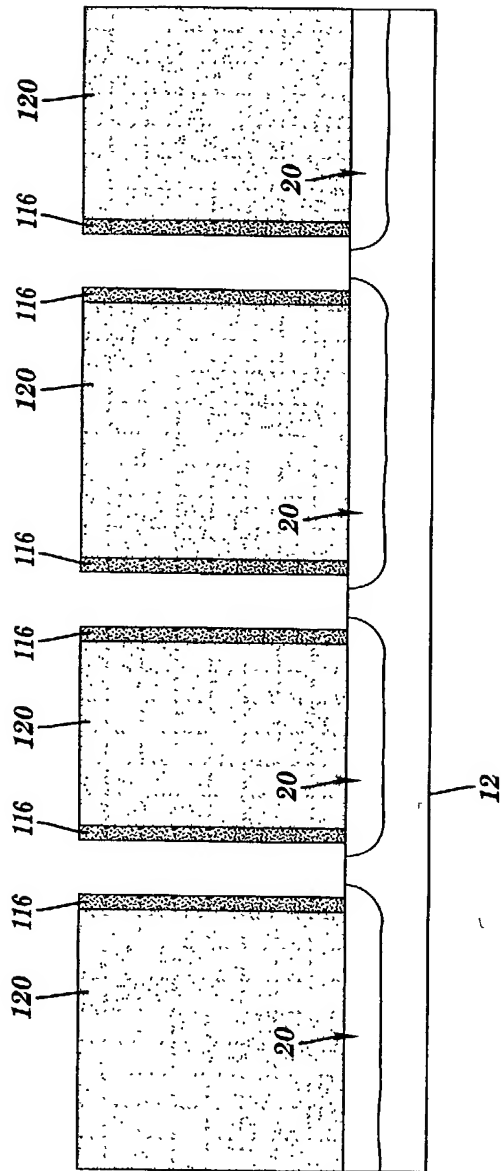


FIG. 8

10/21
BUR920010222US1

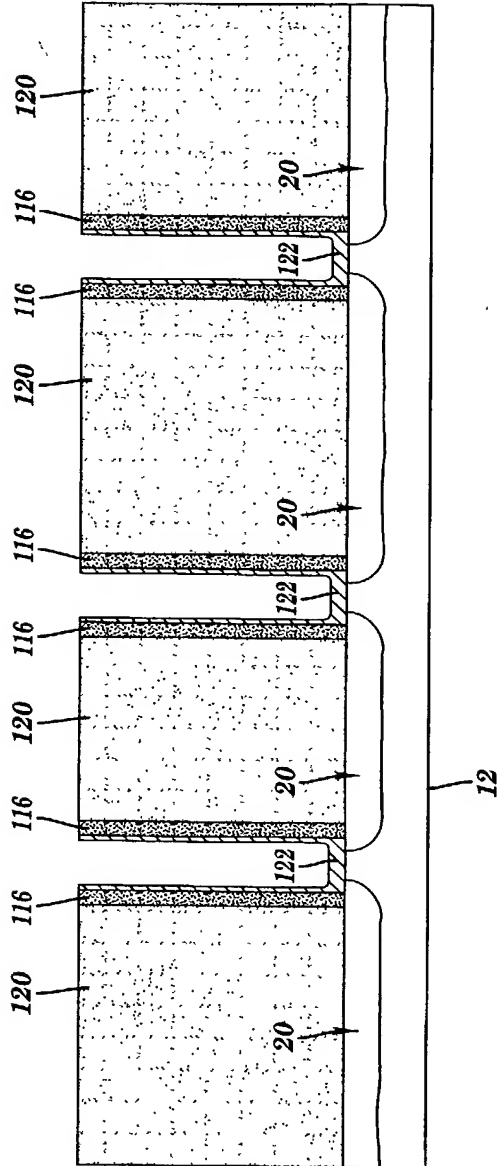


FIG. 9

11/21
BUR920010222US1

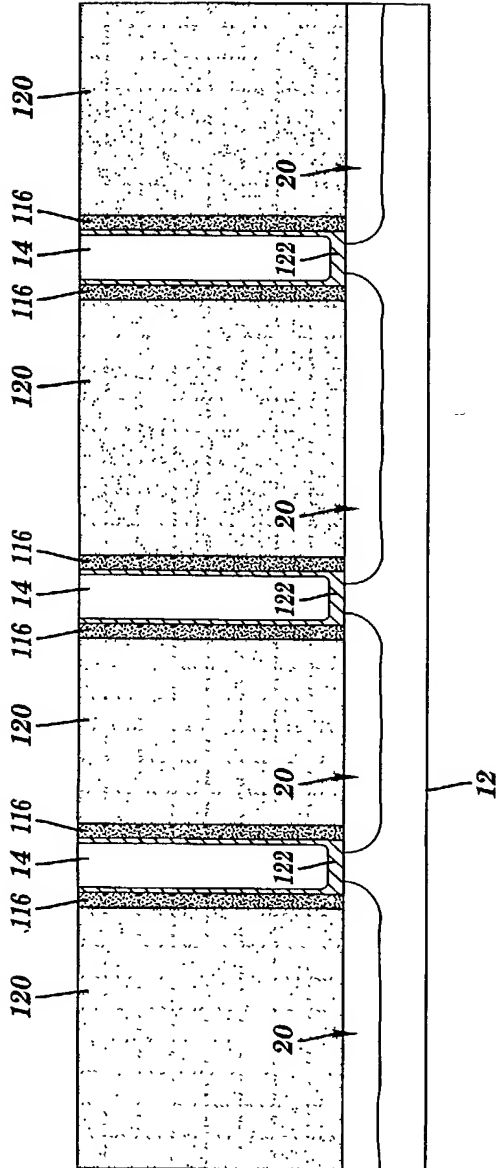


FIG. 10



13/21
BUR920010222US1

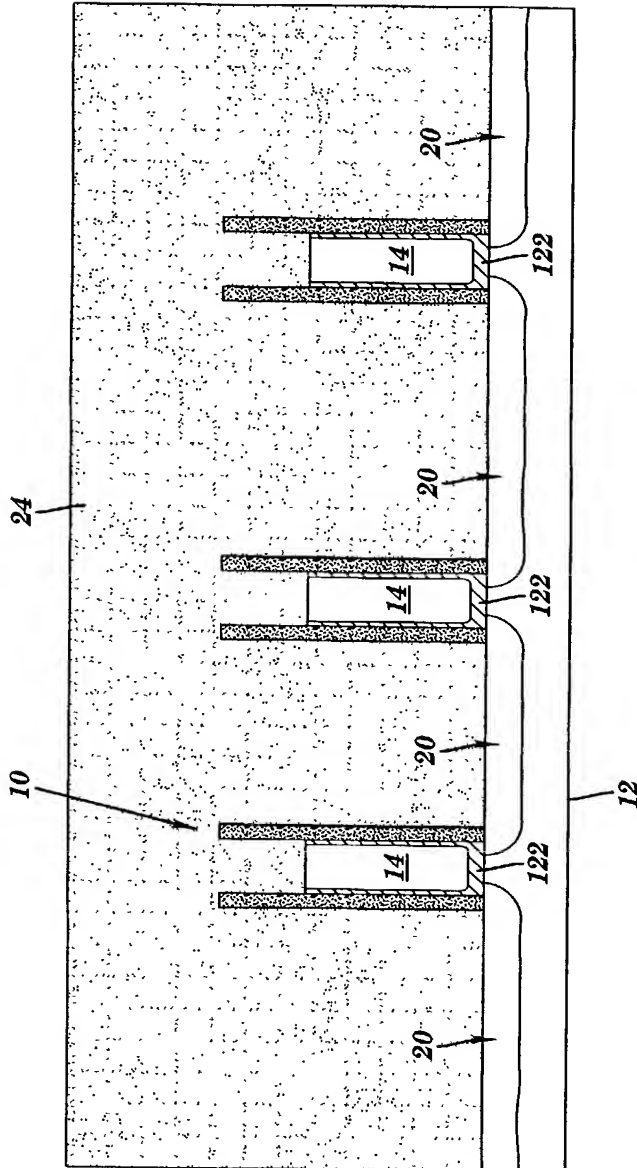


FIG. 12

15/21
BUR920010222US1

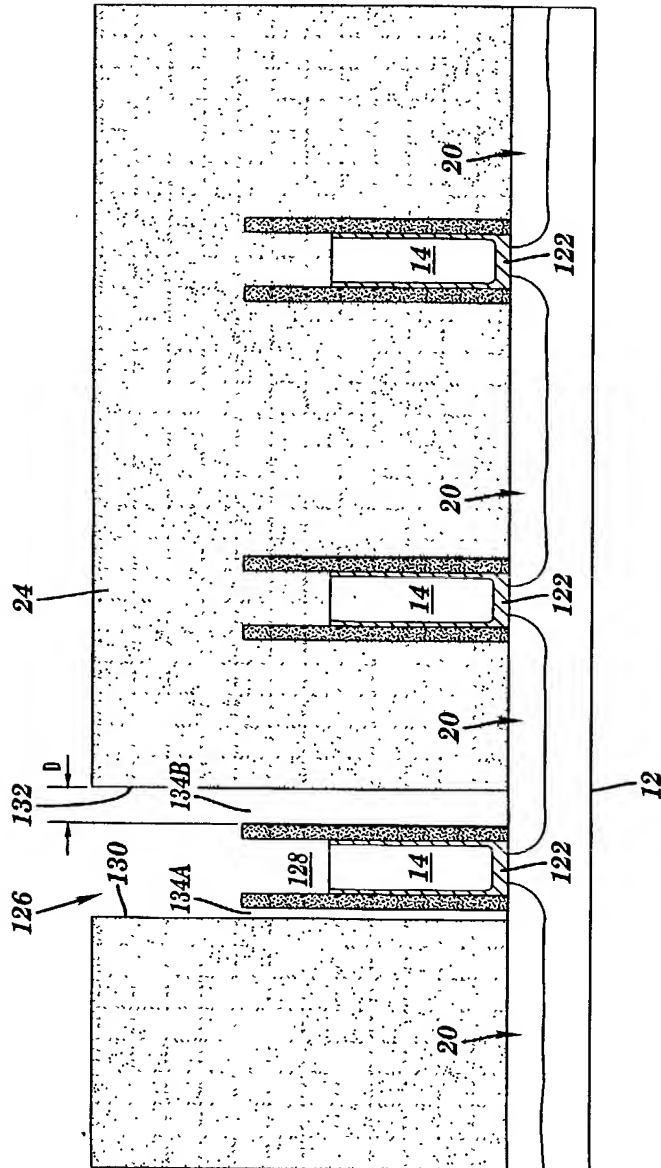


FIG. 14



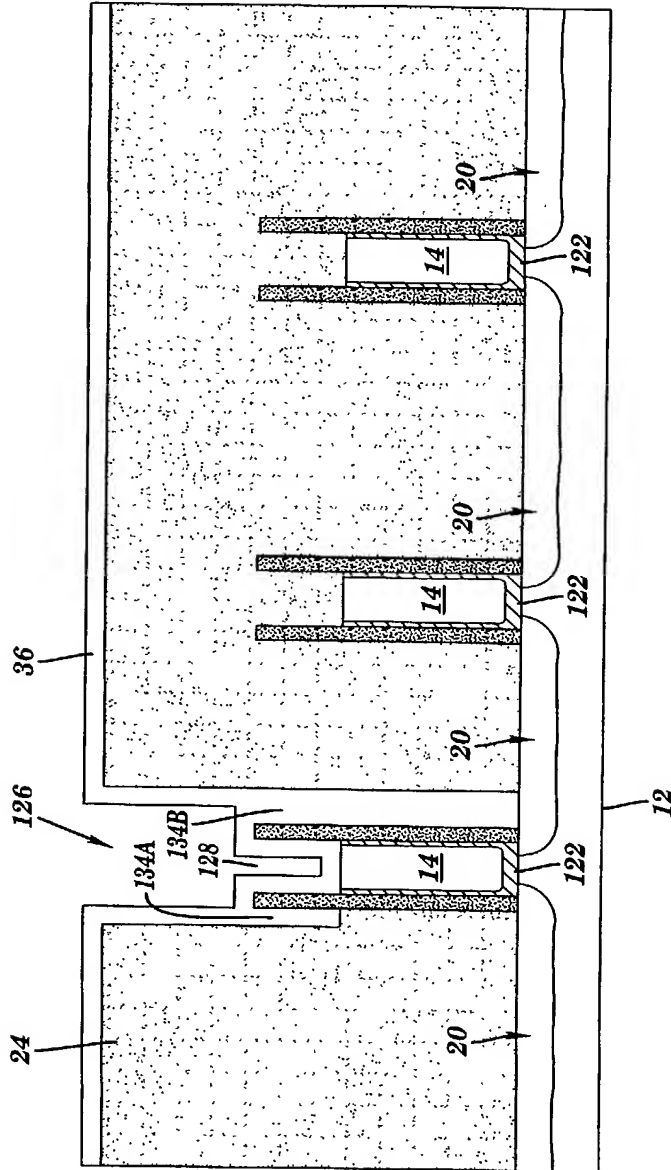


FIG. 16

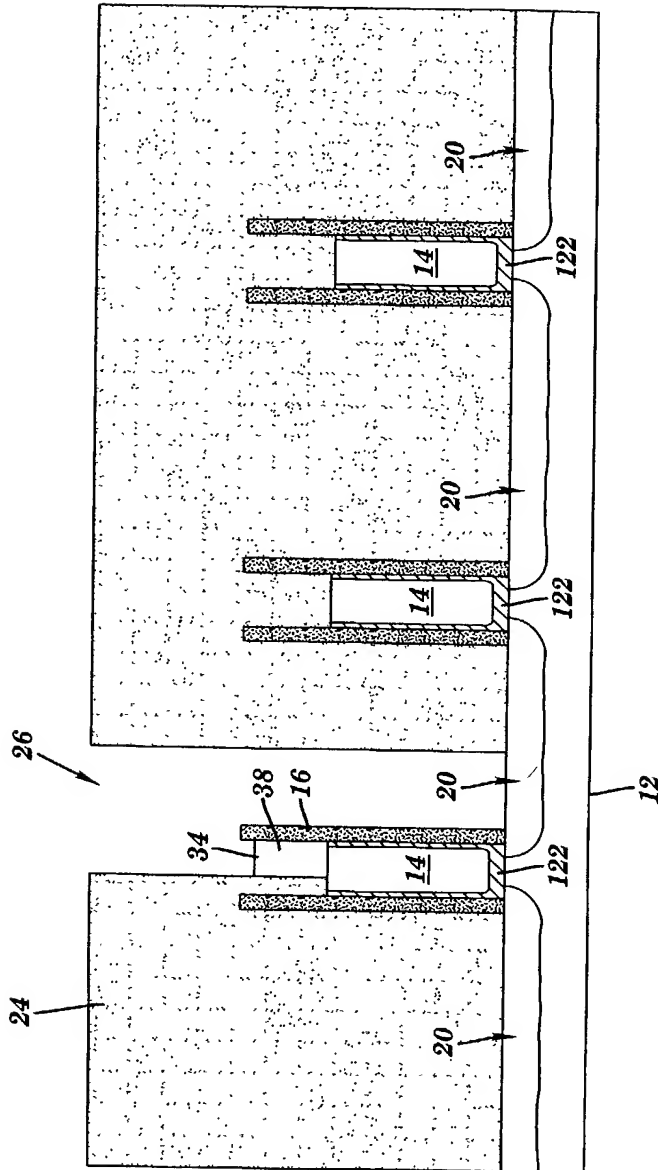


FIG. 17

19/21
BUR920010222US1

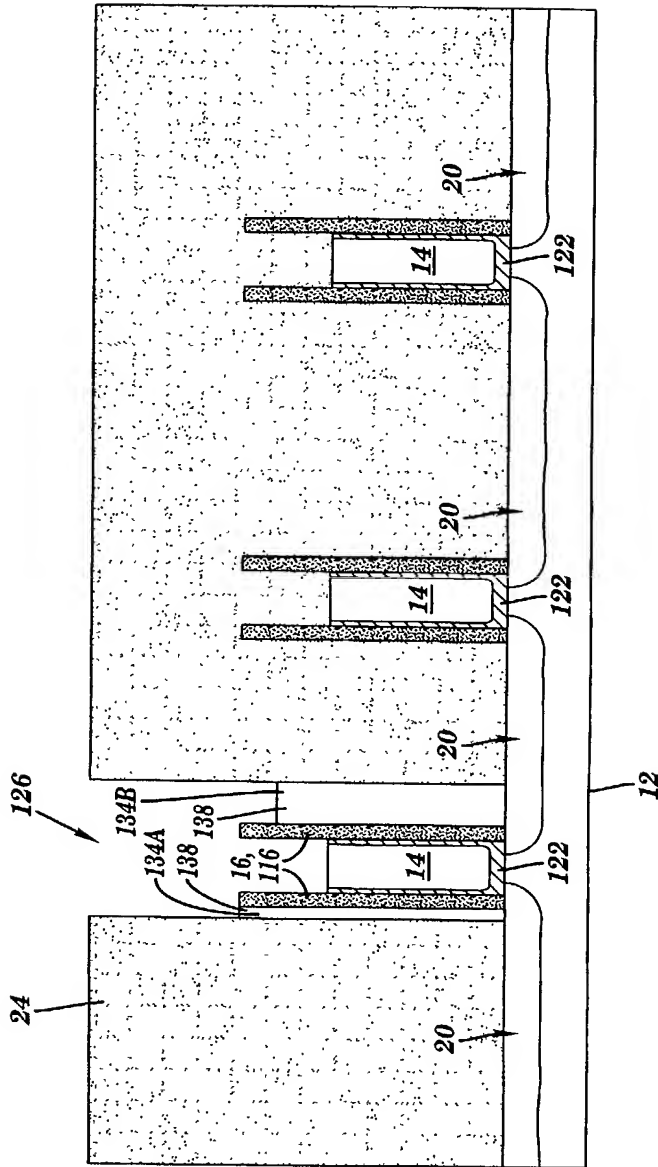


FIG. 18



